

# 用波导激光理论讨论自由电子激光辐射的传输

王明常

(中国科学院上海光机所, 201800)

**摘要:** 本文提出新的建议, 用波导激光理论来处理自由电子激光辐射的传输问题。研究表明, 存在特定的低损耗传输模。介质波导中电磁场为  $\text{EH}_{11}$  模。讨论了模的耦合损耗。

**关键词:** 自由电子激光, 波导

## Discussion on radiation transmission of free electron lasers in terms of waveguide laser theory

Wang Mingchang

(Shanghai Institute of Optics and Fine Mechanics, Academia Sinica, Shanghai)

**Abstract:** A suggestion is proposed to treat the radiation transmission of free electron lasers in terms of waveguide laser theory. The investigation shows that there is a special low loss mode in the cavity.  $\text{EH}_{11}$  mode is for the dielectric waveguide, and the mode coupling loss is discussed.

**Key words:** free electron laser, waveguide

自由电子激光器通常希望 Wiggler 磁场间隙小, 以提高中心场强。希望 Wiggler 长度长, 以提高相互作用的增益。在这种情况下, Wiggler 中间的细长波导参与了对辐射场的限制。这同波导激光腔情况类似。

现行自由电子激光理论用来讨论辐射场、Wiggler 场和电子束的相互作用。可求得辐射的增益和引出效率; 但并没有考虑模的传输情况。而微波理论和激光器理论也没有考虑这种细长波导, 辐射波长远小于波导的特定情况。

本文尝试用波导激光腔理论来处理自由电子激光辐射模的传输问题, 计算其传输损耗。研究表明, 存在低传输损耗的特定模式, 并且可用介质波导取代传统的金属波导。介质波导中的低损耗模为  $\text{EH}_{11}$  模, 传输损耗因子为  $8.5 \times 10^{-3} \text{dB/M}$ 。金属波导的传输损耗高于此值。波导腔中模的耦合损耗视不同腔型结构而定。

### 一、理论模型

为简化起见, 只考虑如图 1 所示的圆柱波导情况。半径为  $a$ , 自由空间介电常数为  $\epsilon_0$ 。波

导壁为电介质或金属,其复介电常数为  $\epsilon$ 。其磁导率为  $\mu_0$ ,与真空中相同。

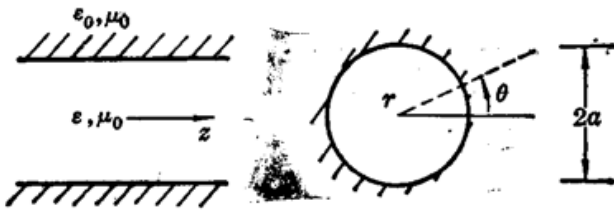


图 1 圆柱介质波导示意图

金属波导的传输特性对于微波频率是熟知的。可是对于光频,这个理论则不适用。因为金属的作用既不象良导体,也不象具有大介电常数的电介质。其实,介质波导和金属波导都可看作是一般空心圆柱波导的特殊情况。

假设辐射在波导中满足下述条件:

$$Ka \gg |\nu| u_{nm} \quad (1)$$

$$|\gamma/K - 1| \ll 1 \quad (2)$$

即我们考虑波导半径远大于真空波长  $\lambda$  的情况。辐射以掠射角在波导壁上来回反射。大部分能量在波导内部传输,只有少量能量由于折射而损耗掉。其中,  $u_{nm}$  为贝塞尔方程  $J_{n-1}(u_{nm}) = 0$  的第  $m$  次根。  $\nu = \sqrt{\epsilon/\epsilon_0}$  为波导壁复折射率。假设条件(2)表明,假设模的传输常数  $\gamma$  近似等于传输波数  $K$ ,即将分析限制在低损耗模的情况。

波导内复合模具有的电磁分量为<sup>[1]</sup>。

$$\left. \begin{aligned} E_{nm}^{\theta} &= \left[ J_{n-1}(K_1 r) + \frac{i u_{nm}^2}{2n K a} \sqrt{\nu^2 - 1} J_n'(K_1 r) \right] \cos n \theta \\ E_{nm}^r &= \left[ J_{n-1}(K_1 r) + \frac{i u_{nm}^2}{2 K r} \sqrt{\nu^2 - 1} J_n(K_1 r) \right] \sin n \theta \\ E_{nm}^z &= -i \frac{u_{nm}}{K a} J_n(K_1 r) \sin n \theta \end{aligned} \right\} \times \exp[i(\gamma z - \omega t)] \quad (3)$$

$$H_{nm}^{\theta} = \sqrt{\epsilon_0/\mu_0} E_{nm}^r$$

$$H_{nm}^r = -\sqrt{\epsilon_0/\mu_0} E_{nm}^{\theta}$$

$$H_{nm}^z = -\sqrt{\epsilon_0/\mu_0} E_{nm}^z \operatorname{ctg} n \theta$$

其中,复传输常数  $\gamma$  和波导内波数  $K_1$  关系为

$$K_1^2 = K^2 - \gamma^2 \quad (4)$$

$n$  和  $m$  分别为辐射场分量在  $\theta$  方向和径向的周期数。

在中空圆柱形介质波导中,传输损耗最低、也是我们感兴趣的  $\text{EH}_{11}$  波导模,在圆柱坐标系中,它的六个场分量为

$$\begin{aligned} E_{11}^{\theta} &= J_0\left(u_{11} \frac{r}{a}\right) \cos \theta \exp[i(rz - \omega t)] \\ E_{11}^r &= J_0\left(u_{11} \frac{r}{a}\right) \sin \theta \exp[i(rz - \omega t)] \\ E_{11}^z &= -i \frac{u_{11}}{K a} J_1\left(u_{11} \frac{r}{a}\right) \sin \theta \exp[i(rz - \omega t)] \\ H_{11}^{\theta} &= \sqrt{\epsilon_0/\mu_0} E_{11}^r \\ H_{11}^r &= -\sqrt{\epsilon_0/\mu_0} E_{11}^{\theta} \\ H_{11}^z &= -\sqrt{\epsilon_0/\mu_0} E_{11}^z \operatorname{ctg} \theta \end{aligned} \quad (5)$$

其中,  $\theta$ 、 $r$  为圆柱坐标的角向和径向分量。

在中空圆柱形金属波导中,最低阶的横电模  $\text{TE}_{01}$  的场分布为

$$E_{01}^e = J_1\left(u_{01} \frac{r}{a}\right) \exp[i(\gamma z - \omega t)]$$

$$H_{01}^r = -\sqrt{\varepsilon_0/\mu_0} E_{01}^e$$

$$H_{01}^z = -i\sqrt{\varepsilon_0/\mu_0} \left(\frac{u_{01}}{Ka}\right) J_0\left(u_{01} \frac{r}{a}\right)$$

在传输方向  $z$  轴上无电场分量。

金属的介电常数通常大于电介质的。在  $0.3 \mu\text{m} < \lambda < 4.0 \mu\text{m}$  范围内，随波长增加而增大。计算表明，金属波导中横电模  $\text{TE}_{01}$  具有最低损耗。选择合适的管径  $a$ ， $\text{TE}_{01}$  模的衰减常数  $\alpha_{01}$  可以小于介质波导中的  $\text{EH}_{11}$  模(参见[2]中图9)。

## 二、波导模的传输常数

在满足假设条件(1)和(2)的情况下，经过简化，传输常数的特征方程可写作

$$J_{n-1}(K_i a) = i\nu_n (K_i/K) J_n(K_i a) \quad (6)$$

其中，对于复合模  $\text{EH}_{nm}$ ，有

$$\nu_n = \frac{1}{2} (\nu^2 + 1) / \sqrt{\nu^2 - 1} \quad (7)$$

方程(4)两边除以  $K^2$  得

$$(K_i/K)^2 = 1 - (\gamma/K)^2$$

由条件(2)知  $\gamma/K \sim 1$ 。则  $K_i/K \sim 0$ 。

方程式(6)右边为零。用微扰法并取近似值，得  $K_i a \approx u_{nm} (1 - i\nu_n/Ka)$ 。由此可求得传输常数  $\gamma$  的表达式。将  $K_i$  值代入式(4)

$$\gamma^2 = K^2 - \left(\frac{u_{nm}}{a}\right)^2 (1 - i\nu_n/Ka)^2$$

忽略二次小项，得

$$\begin{aligned} \gamma &= K \left[ 1 - \left(\frac{u_{nm}\lambda}{2\pi a}\right)^2 (1 - i\nu_n \cdot 2/Ka) \right]^{1/2} \\ &\approx K \left[ 1 - \frac{1}{2} \left(\frac{u_{nm}\lambda}{2\pi a}\right)^2 (1 - i\nu_n \lambda/\pi a) \right] \quad (8) \end{aligned}$$

复传输常数  $\gamma$  的实部和虚部分别为模的位相常数  $\beta_{nm}$  和损耗常数  $\alpha_{nm}$ 。可写为

$$\beta_{nm} = \frac{2\pi}{\lambda} \left\{ 1 - \frac{1}{2} \left(\frac{u_{nm}\lambda}{2\pi a}\right)^2 \left[ 1 + I_m\left(\frac{\nu_n \lambda}{\pi a}\right) \right] \right\}$$

$$\alpha_{nm} = \left(\frac{u_{nm}}{2\pi}\right)^2 \frac{\lambda^2}{a^3} \text{Re}(\nu_n) \quad (9)$$

以玻璃波导为例，由式(9)可求出  $\text{EH}_{11}$  模的传输损耗。假设  $\lambda = 10.6 \mu\text{m}$ ， $a = 4 \text{mm}$ ，并代入已知参数  $\nu = 1.5$ ， $u_{11} = 2.405$ ，则可计算出  $\alpha_{11} \approx 9.76 \times 10^{-4} / \text{M}$ 。换算成分贝数，则乘以 8.68 常数\*，得  $\alpha_{11} = 8.5 \times 10^{-3} \text{dB/M}$ 。这种传输损耗是微不足道的。即使我们考虑的较低单程增益的自由电子激光器实例，增益  $G = 0.037 / \text{M}^{[3]}$ 。传输损耗也可忽略。而实际的自由电子激光增益远大于这一数值。

公式(9)表明，一定模式的传输损耗  $\alpha_{nm}$  正比于波长  $\lambda$  的平方，反比于管径  $a$  的立方。图

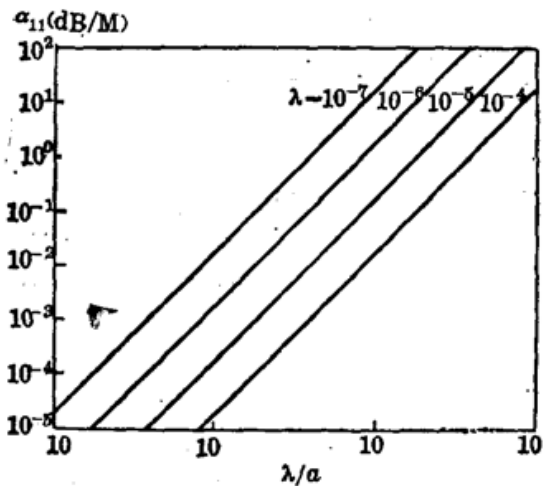


图2  $\text{EH}_{11}$  模的衰减和  $\lambda/a$  的关系

\*  $20 \log E/E_0 = \text{分贝数} = 20 \log e^{\alpha L} = \alpha L \times 8.68$

2 给出  $\text{EH}_{11}$  模的衰减常数与  $\lambda/a$  的变化曲线。其中,  $\lambda$  作为参变量, 从  $10^{-4}\text{M}$  变化到  $10^{-7}\text{M}$ 。  $\nu=1.5$  为玻璃介质折射率。显然, 选择合适的波长和管径, 可以获得低损耗  $\text{EH}_{11}$  模。

### 三、波导模的耦合损耗

耦合问题是指波导腔中传输的模式与自由空间的“准高斯模光束”的耦合。可以将波导器看作一个辐射源, 如果辐射的等位相面与构成波导腔一部分的反射镜面相匹配, 模的耦合损耗最小。离波导口距离  $z$  处的准高斯光束波阵面的曲率可表示为

$$R' = b(z/b + b/z)$$

其中,  $b = \pi\omega_0^2/\lambda$  为准高斯光束的共焦参量。当准高斯光束的腰斑半径  $\omega_0 = 0.643a$  时, 耦合损耗最小<sup>[4]</sup>。显然, 当波导腔反射镜的曲率半径  $R$  与波阵面相一致时, 耦合损耗最低。

J. J. Degnan 讨论了有限孔径反射镜的耦合损耗, 提出了三种低耦合损耗的腔型结构<sup>[5]</sup>: (1) 大曲率半径反射镜, 靠近波导口; (2) 大曲率半径反射镜, 其曲率中心在波导口处; (3) 小曲率半径反射镜, 其焦点在波导口处。从波导中射出的激光束由于衍射而扩大。如用平面镜反射激光, 由于没有全部收集到波导口内而产生耦合损耗。  $\text{EH}_{11}$  模的耦合损耗为

$$\alpha_{11}^c = 6.05(d/Ka^2)^{3/2}$$

其中,  $d$  为反射镜离波导口距离, 如图 3 所示。为了减少这种损耗就需要把平面镜尽量靠近波导口。自由电子激光器要求有一定的  $d$ , 使电子束能够引入和引出谐振腔。第一种腔型显然不适用。

第二种腔型类似常用激光腔中的共心腔, 此时

$$z \approx R.$$

第三种腔型类似共焦距, 此时有  $z \approx R/2$ 。 Degnan 给出  $\text{EH}_{11}$  波导模的耦合损耗为

$$\alpha_{11}^c = 1 - \left[ \frac{f}{2gJ_1(u_{01})} \right]^4 \left| \int_0^h d\omega_1 e^{i[(1-g)/g] \times \omega_1} \times \left[ \int_0^1 d\omega_0 e^{i(f\omega_0/2g)} J_0(u_{01}\sqrt{\omega_0}) J_0\left(\frac{f}{g}\sqrt{\omega_1\omega_0}\right) \right]^2 \right|^2$$

其中,  $f = Ka^2/R$ ,  $g = d/R$ ,  $h = c/a$ 。  $R$  为反射镜曲率半径,  $c$  为反射镜半径。

移动反射镜在  $z$  方向位置, 考虑  $f/g \approx 0$  的远场情况。选择反射镜孔径, 使因子  $f \cdot h = Kac/R$  的值大于或等于贝塞尔函数  $J_0(u)$  的第二个、第三个和第四个根。这就可以限制模式, 可以获得最小耦合损耗。耦合损耗约为 0.06 dB。

可见用波导激光理论可以处理自由电子激光模式传输问题, 容易计算出传输损耗和耦合损耗, 可以作为自由电子激光谐振腔设计基础。

### 参 考 文 献

- 1 J. A. Stratton, *Electromagnetic Theory*, McGraw-Hill Book Co., New York and London, 1941, 524
- 2 E. A. J. Marcatili et al., *Bell Syst. Tech. J.*, **43**, 1783~1809(1964)
- 3 王明常 et al., *光学学报*, **3**(9), 779~784(1983)
- 4 R. L. Abrams, *IEEE J. Quant. Electr.*, **QE-8**(9), 940(1972)
- 5 J. J. Degnan et al., *IEEE J. Quant. Electr.*, **QE-9**(8), 901~910(1973)

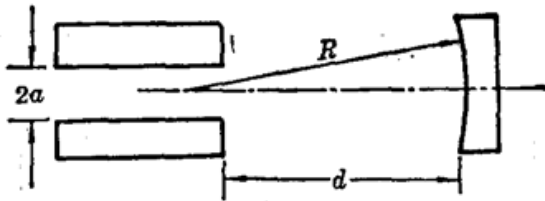


图 3 圆柱波导和反射镜位置示意图